

CORREZIONE

ESERCIZIO 1.

**1.1. Trasformazione rigida.** L'origine  $O'$  del sistema di riferimento mobile si muove secondo la legge

$$\mathbf{q}_{O'}(t) = \mathbf{r}(t) = (\cos \omega_1 t, \sin \omega_1 t, 0),$$

dove si è tenuto conto che  $\mathbf{q}_{O'}(0) = (1, 0, 0)$ .

Se  $B(t)$  denota la matrice di rotazione del sistema mobile rispetto a quello fisso si ha

$$B = B(t) = \begin{pmatrix} \cos \omega_2 t & -\sin \omega_2 t & 0 \\ \sin \omega_2 t & \cos \omega_2 t & 0 \\ 0 & 0 & 1 \end{pmatrix}.$$

e quindi  $D = C(t) \circ B(t)$ , dove  $C(t)$  è la traslazione di  $\mathbf{r}(t)$ .

**1.2. Soluzione dell'equazione del moto.** Nel sistema mobile si ha

$$\mathbf{Q}(t) = (\cos(\omega_3 t + \varphi), \sin(\omega_3 t + \varphi), 0),$$

poiché per ipotesi a  $t = 0$  sia ha  $\mathbf{Q}(0) = (\cos \varphi, \sin \varphi, 0)$ . Quindi nel sistema fisso si ha

$$\begin{aligned} \mathbf{q}(t) = B(t)\mathbf{Q}(t) + \mathbf{r}(t) &= \begin{pmatrix} \cos \omega_2 t & -\sin \omega_2 t & 0 \\ \sin \omega_2 t & \cos \omega_2 t & 0 \\ 0 & 0 & 1 \end{pmatrix} \begin{pmatrix} \cos(\omega_3 t + \varphi) \\ \sin(\omega_3 t + \varphi) \\ 0 \end{pmatrix} + \begin{pmatrix} \cos \omega_1 t \\ \sin \omega_1 t \\ 0 \end{pmatrix} \\ &= \begin{pmatrix} \cos(\omega_2 t + \omega_3 t + \varphi) + \cos \omega_1 t \\ \sin(\omega_2 t + \omega_3 t + \varphi) + \sin \omega_1 t \\ 0 \end{pmatrix}, \end{aligned}$$

dove si è tenuto conto che

$$\begin{aligned} \cos \omega_2 t \cos(\omega_3 t + \varphi) - \sin \omega_2 t \sin(\omega_3 t + \varphi) &= \cos(\omega_2 t + \omega_3 t + \varphi), \\ \sin \omega_2 t \cos(\omega_3 t + \varphi) + \cos \omega_2 t \sin(\omega_3 t + \varphi) &= \sin(\omega_2 t + \omega_3 t + \varphi), \end{aligned}$$

così che

$$\mathbf{q}(t) = (\cos(\omega_2 t + \omega_3 t + \varphi) + \cos \omega_1 t, \sin(\omega_2 t + \omega_3 t + \varphi) + \sin \omega_1 t, 0).$$

**1.3. Velocità assoluta.** Si ha

$$\mathbf{v} = \dot{\mathbf{q}} = (-(\omega_2 + \omega_3) \sin(\omega_2 t + \omega_3 t + \varphi) - \omega_1 \sin \omega_1 t, (\omega_2 + \omega_3) \cos(\omega_2 t + \omega_3 t + \varphi) + \omega_1 \cos \omega_1 t, 0).$$

**1.4. Velocità relativa.** Si ha

$$\begin{aligned} \mathbf{v}' &= B(t)\dot{\mathbf{Q}}(t) = (-\omega_3 \cos \omega_2 t \sin(\omega_3 t + \varphi) - \omega_3 \sin \omega_2 t \cos(\omega_3 t + \varphi), \\ &\quad -\omega_3 \sin \omega_2 t \sin(\omega_3 t + \varphi) + \omega_3 \cos \omega_2 t \cos(\omega_3 t + \varphi), 0) \\ &= (-\omega_3 \sin(\omega_2 t + \omega_3 t + \varphi), \omega_3 \cos(\omega_2 t + \omega_3 t + \varphi), 0), \end{aligned}$$

poiché  $\dot{\mathbf{Q}}(t) = (-\omega_3 \sin(\omega_3 t + \varphi), \omega_3 \cos(\omega_3 t + \varphi), 0)$ .

**1.5. Componente traslatoria della velocità di trascinamento.** Si ha

$$\mathbf{v}_0 = \dot{\mathbf{r}}(t) = (-\omega_1 \sin \omega_1 t, \omega_1 \cos \omega_1 t, 0).$$

**1.6. Componente rotatoria della velocità di trascinamento.** Si ha

$$\begin{aligned} \mathbf{v}_T &= [\boldsymbol{\omega}(t), \mathbf{q}(t) - \mathbf{r}(t)] = \det \begin{pmatrix} \mathbf{e}_x & \mathbf{e}_y & \mathbf{e}_z \\ 0 & 0 & \omega_2 t \\ \cos(\omega_2 t + \omega_3 t + \varphi) & \sin(\omega_2 t + \omega_3 t + \varphi) & 0 \end{pmatrix} \\ &= (-\omega_2 \sin(\omega_2 t + \omega_3 t + \varphi), \omega_2 \cos(\omega_2 t + \omega_3 t + \varphi), 0), \end{aligned}$$

e si può facilmente verificare che  $\mathbf{v}' + \mathbf{v}_0 + \mathbf{v}_T = \mathbf{v}$ .

**2.7. Punto fermo.** Perché il punto  $P$  risulti fermo nell'origine del sistema fisso si deve avere  $\mathbf{q}(t) = \mathbf{0}$  per ogni  $t \in \mathbb{R}$ , i.e.

$$\cos(\omega_2 t + \omega_3 t + \varphi) + \cos \omega_1 t = 0, \quad \sin(\omega_2 t + \omega_3 t + \varphi) + \sin \omega_1 t = 0.$$

Si può per esempio scegliere  $\omega_3 = \omega_1 - \omega_2$  e  $\varphi = \pi$  così che le due equazioni diventano

$$\cos(\omega_1 t + \pi) = -\cos \omega_1 t, \quad \sin(\omega_1 t + \pi) = -\sin \omega_1 t,$$

che sono ovviamente soddisfatte poiché

$$\begin{aligned} \cos(\alpha + \pi) &= \cos \alpha \cos \pi - \sin \alpha \sin \pi = -\cos \alpha, \\ \sin(\alpha + \pi) &= \sin \alpha \cos \pi + \cos \alpha \sin \pi = -\sin \alpha, \end{aligned}$$

per ogni  $\alpha \in \mathbb{T}$ .

ESERCIZIO 2. Cfr. Cap. 3, §11, lemma 11.2 e paragrafo 11.3 (lemma di Gronwall) e paragrafo 11.7 (teorema della dipendenza continua dai dati iniziali).

ESERCIZIO 3. Il polinomio caratteristico della matrice  $A$  è

$$\det(A - \lambda \mathbf{1}) = \det \begin{pmatrix} -\lambda & 1 \\ 1 & -\lambda \end{pmatrix} = \lambda^2 - 1 = 0 \quad \implies \quad \lambda = \pm 1,$$

quindi  $A$  ha due autovalore reali distinti, ed è pertanto diagonalizzabile.

Gli autovettori corrispondenti sono

$$\begin{cases} \lambda_1 = 1 & \implies & v_1 = (1, 1), \\ \lambda_2 = -1 & \implies & v_2 = (-1, 1). \end{cases}$$

Quindi la matrice del cambiamento di base è data da

$$P = \begin{pmatrix} 1 & 1 \\ -1 & 1 \end{pmatrix},$$

così che

$$Q^{-1} = P^T = \begin{pmatrix} 1 & -1 \\ 1 & 1 \end{pmatrix}, \quad Q = \frac{1}{2} \begin{pmatrix} 1 & 1 \\ -1 & 1 \end{pmatrix}.$$

Si ha allora

$$B = Q A Q^{-1} = \begin{pmatrix} 1 & 0 \\ 0 & -1 \end{pmatrix} \quad \implies \quad e^{Bt} = \begin{pmatrix} e^t & 0 \\ 0 & e^{-t} \end{pmatrix},$$

e quindi

$$e^{At} = Q^{-1}e^{Bt}Q = \frac{1}{2} \begin{pmatrix} 1 & -1 \\ 1 & 1 \end{pmatrix} \begin{pmatrix} e^t & 0 \\ 0 & e^{-t} \end{pmatrix} \begin{pmatrix} 1 & 1 \\ -1 & 1 \end{pmatrix} = \frac{1}{2} \begin{pmatrix} e^t + e^{-t} & e^t - e^{-t} \\ e^t - e^{-t} & e^t + e^{-t} \end{pmatrix}.$$

Quindi

$$x(t) = e^{At}x(0) = \frac{1}{2} \begin{pmatrix} e^t + e^{-t} & e^t - e^{-t} \\ e^t - e^{-t} & e^t + e^{-t} \end{pmatrix} \begin{pmatrix} 1 \\ 1 \end{pmatrix},$$

così che la soluzione è  $x(t) = (x_1(t), x_2(t))$ , con

$$\begin{cases} x_1(t) = \frac{1}{2}(e^t + e^{-t} + e^t - e^{-t}) = e^t, \\ x_2(t) = \frac{1}{2}(e^t - e^{-t} + e^t + e^{-t}) = e^t. \end{cases}$$

#### ESERCIZIO 4.

**4.1. Equazione del moto e sistema dinamico associato.** Si ha

$$\begin{aligned} V_{\text{eff}}(\rho) &= V(\rho) + \frac{L^2}{\mu\rho^2} = \frac{\rho^4}{4} - \frac{\alpha}{8\rho^8} + \frac{\beta}{2\rho^2}, \\ V'_{\text{eff}}(\rho) &= \rho^3 + \frac{\alpha}{\rho^9} - \frac{\beta}{\rho^3} = \frac{1}{\rho^9}(\rho^{12} - \beta\rho^6 + \alpha), \\ V''_{\text{eff}}(\rho) &= 3\rho^2 - \frac{9\alpha}{\rho^{10}} + \frac{3\beta}{\rho^4} = \frac{3}{\rho^{10}}(\rho^{12} + \beta\rho^6 - 3\alpha), \end{aligned}$$

dove  $\beta = L^2/\mu \in \mathbb{R}_+$ .

L'equazione del moto per la variabile radiale è allora

$$\mu\ddot{\rho} = -V'_{\text{eff}}(\rho) = -\frac{1}{\rho^9}(\rho^{12} - \beta\rho^6 + \alpha),$$

e il sistema dinamico associato è

$$\begin{cases} \dot{\rho} = y, \\ \dot{y} = -\frac{1}{\mu}V'_{\text{eff}}(\rho) = \frac{1}{\mu\rho^9}(\rho^{12} - \beta\rho^6 + \alpha). \end{cases}$$

**4.2. Punti d'equilibrio.** I punti d'equilibrio sono della forma  $(\rho, y) = (\rho_0, 0)$  con  $V'_{\text{eff}}(\rho_0) = 0$ .

Consideriamo prima il caso  $\beta > 0$ . La funzione  $V_{\text{eff}}(\rho)$  è definita per  $\rho > 0$ , e si ha

$$\lim_{\rho \rightarrow 0} V_{\text{eff}}(\rho) = \begin{cases} -\infty, & \alpha > 0, \\ +\infty, & \alpha \leq 0, \end{cases} \quad \lim_{\rho \rightarrow \infty} V_{\text{eff}}(\rho) = +\infty,$$

poiché per  $\rho \rightarrow 0$  il termine dominante, per  $\alpha \neq 0$ , è  $-\alpha/8\rho^2$ , che diverge a  $-\infty$  se  $\alpha > 0$  e a  $+\infty$  se  $\alpha < 0$ , e, per  $\alpha = 0$ , è  $\beta/2\rho^2$  che va a  $+\infty$ .

Si ha inoltre  $V'_{\text{eff}}(\rho) = 0$  per

$$\rho^{12} - \beta\rho^6 + \alpha = 0,$$

che è un'equazione di secondo grado in  $x = \rho^6$ .

Le radici dell'equazione  $x^2 - \beta x + \alpha = 0$  sono

$$x_{\pm} = \frac{\beta \pm \sqrt{\beta^2 - 4\alpha}}{2},$$

così che non ci sono radici reali per  $\alpha > \beta^2/4$ .

Se invece  $\alpha = \beta^2/4$  si ha una sola radice  $\beta/2$ . Se  $0 < \alpha < \beta^2/4$  si ha  $\sqrt{\beta^2 - 4\alpha} < \beta$ , e quindi si hanno due radici positive distinte. Se  $\alpha = 0$  si ha una radice nulla e una positiva. Se infine  $\alpha < 0$  una radice è negativa e una positiva. Poiché  $x = \rho^6 > 0$  per  $\rho > 0$  solo le radici strettamente positive devono essere considerate.

In conclusione non ci sono punti d'equilibrio per  $\alpha > \beta^2/4$ , si ha un unico punto d'equilibrio  $\rho_0 = (\beta/2)^{1/6}$  per  $\alpha = \beta^2/4$ , si hanno due punti d'equilibrio distinti

$$\rho_1 = \left( \frac{\beta - \sqrt{\beta^2 - 4\alpha}}{2} \right)^{1/6}, \quad \rho_2 = \left( \frac{\beta + \sqrt{\beta^2 - 4\alpha}}{2} \right)^{1/6},$$

per  $0 < \alpha < \beta^2/4$ , e di nuovo un solo punto d'equilibrio

$$\rho_0 = \left( \frac{\beta + \sqrt{\beta^2 - 4\alpha}}{2} \right)^{1/6},$$

per  $\alpha \leq 0$  (che diventa  $\rho_0 = \beta^{1/6}$  per  $\alpha = 0$ ).

Se infine  $\beta = 0$  l'equazione per  $x$  si riduce a  $x^2 + \alpha = 0$ , che non ammette radici reali per  $\alpha > 0$ , mentre ammette una sola radice  $x = 0$  per  $\alpha = 0$  e due radici reali distinte  $x = \pm(-\alpha)^{1/2}$ , di cui solo una positiva  $x = (-\alpha)^{1/2}$ , per  $\alpha < 0$ .

Per  $\beta = 0$  (i.e.  $L = 0$ ) il moto si svolge lungo una retta, quindi  $\rho$  si deve considerare su tutto  $\mathbb{R}$ . Non si hanno quindi punti d'equilibrio per  $\alpha > 0$ , si ha un unico punto d'equilibrio  $\rho_0 = 0$  per  $\alpha = 0$  e si hanno due punti d'equilibrio distinti

$$\rho_0 = \pm(-\alpha)^{1/12}$$

per  $\alpha < 0$ . Si noti che per  $\beta = 0$  l'energia potenziale efficace  $V_{\text{eff}}(\rho)$  è definita e pari in tutto  $\mathbb{R}$ .

**4.3. Stabilità dei punti d'equilibrio.** Per  $\beta > 0$  e  $\alpha = \beta^2/4$  il punto stazionario  $(\beta/2)^{1/6}$  è un punto di flesso orizzontale (infatti per  $\alpha = \beta^2/4$  si ha  $V_{\text{eff}}''((\beta/2)^{1/6}) = 0$ ), e quindi, per tali valori di  $\alpha$  e  $\beta$ ,  $(\rho_0, 0) = ((\beta/2)^{1/6}, 0)$  è un punto d'equilibrio instabile per il sistema dinamico associato (cfr. anche l'analisi qualitativa discussa al punto 4.4).

Per  $\beta > 0$  e  $0 < \alpha < \beta^2/4$  il punto stazionario  $\rho_1$  è un punto di massimo e il punto  $\rho_2$  è un punto di minimo per l'energia potenziale efficace  $V_{\text{eff}}(\rho)$ .

Per  $\alpha \leq 0$  il punto  $\rho_0$  è un punto di minimo per l'energia potenziale efficace  $V_{\text{eff}}(\rho)$ .

Possiamo quindi concludere che per  $\beta > 0$  e  $\alpha \in (0, \beta^2/4)$  il punto  $(\rho_2, 0)$  è un punto d'equilibrio stabile per il sistema dinamico associato (per il teorema di Dirichlet), mentre il punto  $(\rho_1, 0)$  è un punto d'equilibrio instabile (cfr. anche l'analisi qualitativa discussa al punto 4.4).

Per  $\beta > 0$  e  $\alpha \leq 0$  il punto  $(\rho_0, 0)$  è un punto d'equilibrio stabile per il sistema dinamico associato, di nuovo per il teorema di Dirichlet.

Infine se  $\beta = 0$  e  $\alpha = 0$  il punto  $\rho_0 = 0$  è un punto d'equilibrio stabile, e infine se  $\beta = 0$  e  $\alpha < 0$  i punti  $(\pm(-\alpha)^{1/12}, 0)$  sono punti d'equilibrio stabile: di nuovo la stabilità segue dal teorema di Dirichlet.

**4.4. Grafico dell'energia potenziale efficace.** Si ha  $V_{\text{eff}}''(\rho) = 0$  per  $x = \rho^6$  tale che  $x^{12} + \beta x - 3\alpha = 0$ , quindi per

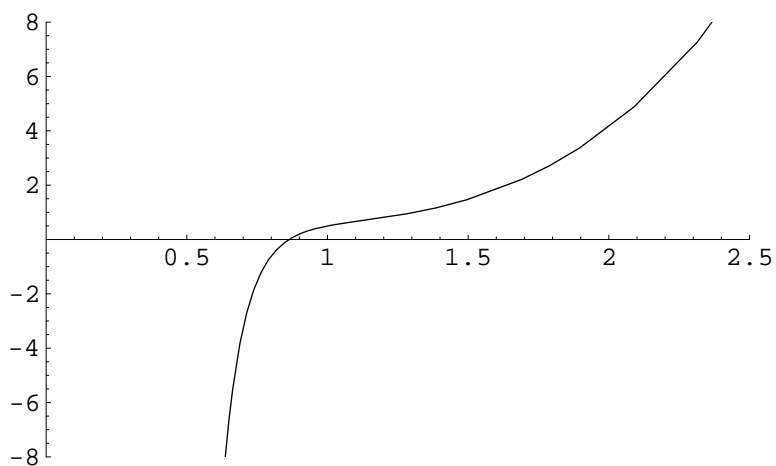
$$\tilde{x}_{\pm} = \frac{-\beta \pm \sqrt{\beta^2 + 12\alpha}}{2},$$

quindi per avere zeri positivi di  $V_{\text{eff}}''(\rho)$  si deve avere  $\alpha \geq 0$ . In tal caso la funzione  $V_{\text{eff}}(\rho)$  cambia concavità per  $\rho = \tilde{\rho}$ , con

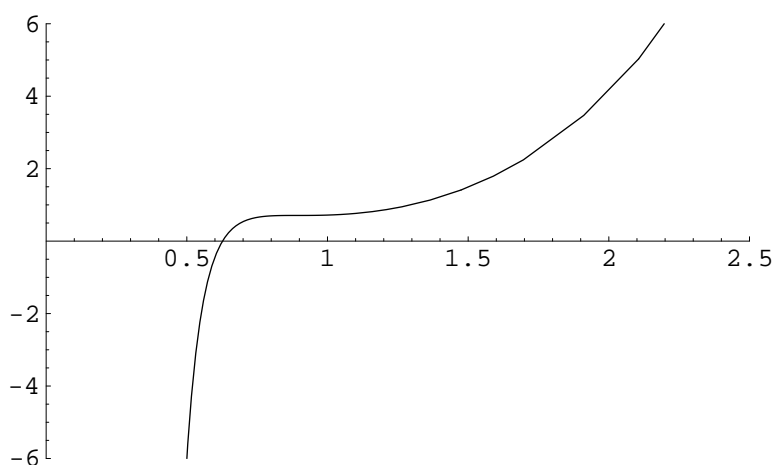
$$\tilde{\rho} = \left( \frac{\sqrt{\beta^2 + 12\alpha} - \beta}{2} \right)^{1/6},$$

ovvero  $V_{\text{eff}}(\rho)$  è concava per  $r < \tilde{\rho}$  e convessa per  $\rho > \tilde{\rho}$ .

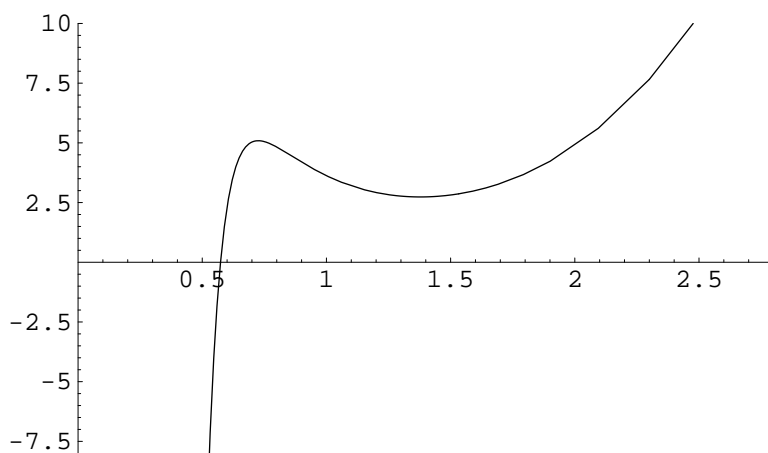
Per  $\beta > 0$  e  $\alpha \geq \beta^2/4$  si ha  $V_{\text{eff}}' > 0$ , quindi la funzione  $V_{\text{eff}}(\rho)$  è strettamente crescente ed è concava per  $r < \tilde{\rho}$  e convessa per  $\rho > \tilde{\rho}$ . Per  $\alpha = \beta^2/4$  si ha  $\rho_0 = \tilde{\rho} = \beta/2$ . Cfr. la Figura 1 per  $\alpha > \beta^2/4$  e la Figura 2 per  $\alpha = \beta^2/4$ .



**Figura 1.** Grafico dell'energia potenziale  $V_{\text{eff}}(\rho)$  per  $\beta > 0$  e  $\alpha > \beta^2/4$ .

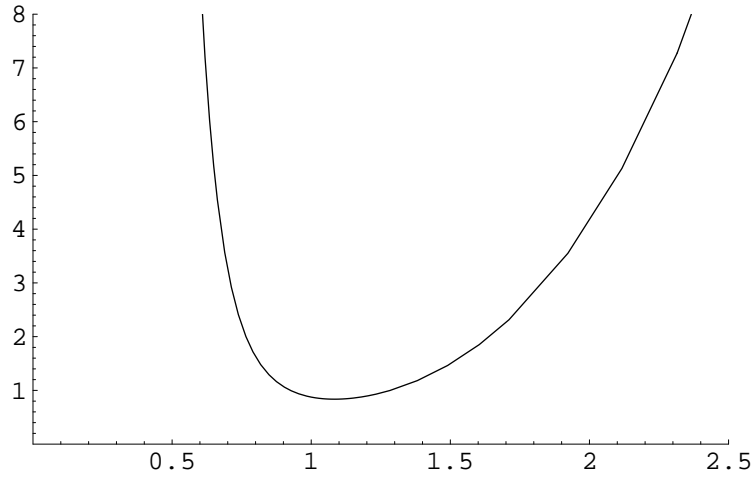


**Figura 2.** Grafico dell'energia potenziale  $V_{\text{eff}}(\rho)$  per  $\beta > 0$  e  $\alpha = \beta^2/4$ .



**Figura 3.** Grafico dell'energia potenziale  $V_{\text{eff}}(\rho)$  per  $\beta > 0$  e  $0 < \alpha < \beta^2/4$ .

Per  $\beta > 0$  e  $0 < \alpha < \beta^2/4$  la funzione  $V_{\text{eff}}(\rho)$  ha un punto di massimo relativo in  $\rho = \rho_1$  e un punto di minimo relativo in  $\rho = \rho_2$ . La funzione cambia concavità una volta sola, poiché  $V_{\text{eff}}''(\rho)$  ha un unico zero  $\tilde{\rho}$ , con  $\rho_1 < \tilde{\rho} < \rho_2$ . Si ha quindi la situazione rappresentata in Figura 3. Si noti che per  $\alpha \rightarrow \beta^2/4$  si ha  $\rho_1, \rho_2 \rightarrow \tilde{\rho}$ .



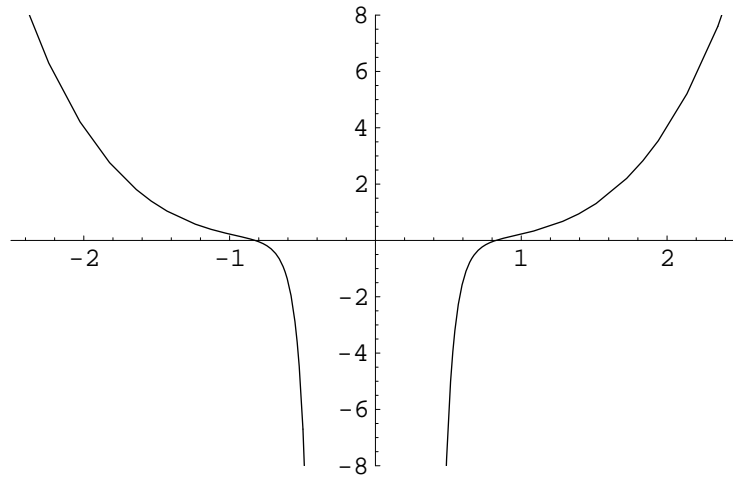
**Figura 4.** Grafico dell'energia potenziale  $V_{\text{eff}}(\rho)$  per  $\beta > 0$  e  $\alpha \leq 0$ .

Per  $\beta > 0$  e  $\alpha \leq 0$  la funzione  $V_{\text{eff}}(\rho)$  ha un punto di minimo in  $\rho_0$  ed è convessa; cfr. la Figura 4.

Per  $\beta = 0$  e  $\alpha > 0$  si ha il grafico di Figura 5: l'energia potenziale efficace è definita su tutto l'asse reale poiché il moto è un moto unidimensionale, e diverge a  $-\infty$  per  $\rho \rightarrow 0$ . La funzione  $V_{\text{eff}}(\rho) = V(r)$  cambia concavità nei punti

$$\tilde{\rho}_{\pm} = \pm (3\alpha)^{1/12},$$

ed è concava per  $0 < |\rho| < \tilde{\rho}_+$  e convessa per  $|\rho| > \tilde{\rho}_+$ .



**Figura 5.** Grafico dell'energia potenziale  $V_{\text{eff}}(\rho)$  per  $\beta = 0$  e  $\alpha > 0$ .

Per  $\beta = 0$  e  $\alpha = 0$  si ha il grafico di Figura 6: l'energia potenziale efficace è definita su tutto l'asse reale ed è convessa (si ha  $V_{\text{eff}}''(\rho) > 0$  per ogni  $\rho \neq 0$  e  $V_{\text{eff}}''(0) = 0$ ).

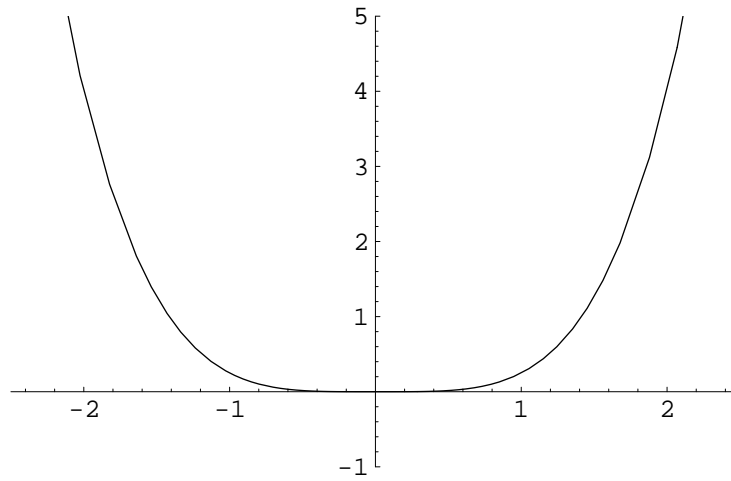
Per  $\beta = 0$  e  $\alpha < 0$  si ha il grafico di Figura 7: l'energia potenziale efficace è definita su tutto l'asse reale e diverge a  $+\infty$  per  $\rho \rightarrow 0$ . Inoltre la funzione è strettamente convessa.

**4.5. Analisi qualitativa.** Studiamo le curve di livello

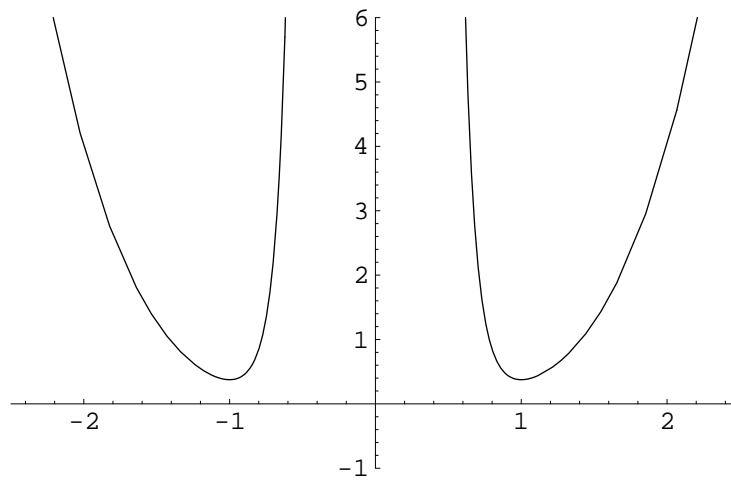
$$\Gamma_E = \left\{ (\rho, y) \in \mathbb{R}_+ \times \mathbb{R} : H(\rho, y) := \frac{1}{2}\mu y^2 + V_{\text{eff}}(\rho) = E \right\}$$

dell'energia del sistema.

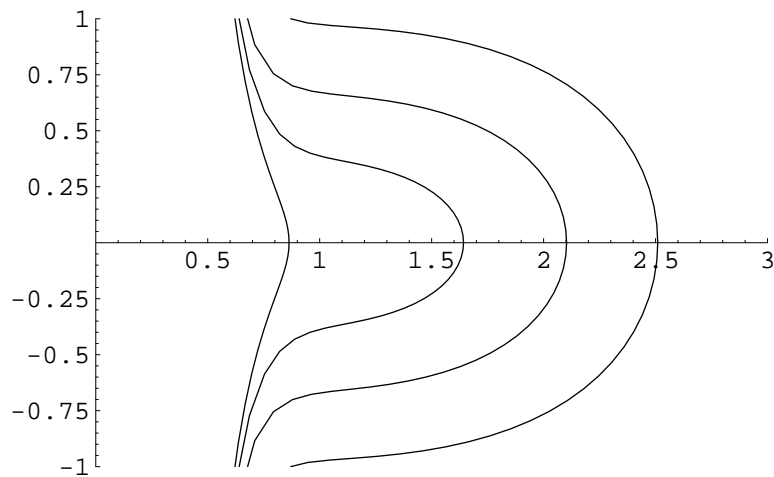
Per  $\beta > 0$  e  $\alpha > \beta^2/4$  si ha la situazione rappresentata in Figura 8, per  $\beta > 0$  e  $\alpha = \beta^2/4$  si ha la situazione rappresentata in Figura 9, per  $\beta > 0$  e  $0 < \alpha < \beta^2/4$  si ha la situazione rappresentata in Figura 10, mentre per  $\beta > 0$  e  $\alpha \leq 0$  si ha la situazione rappresentata in Figura 11.



**Figura 6.** Grafico dell'energia potenziale  $V_{\text{eff}}(\rho)$  per  $\beta = 0$  e  $\alpha = 0$ .

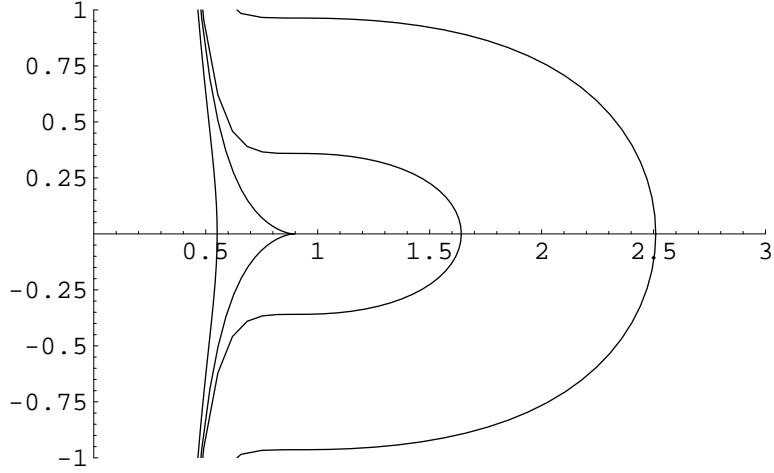


**Figura 7.** Grafico dell'energia potenziale  $V_{\text{eff}}(\rho)$  per  $\beta = 0$  e  $\alpha < 0$ .

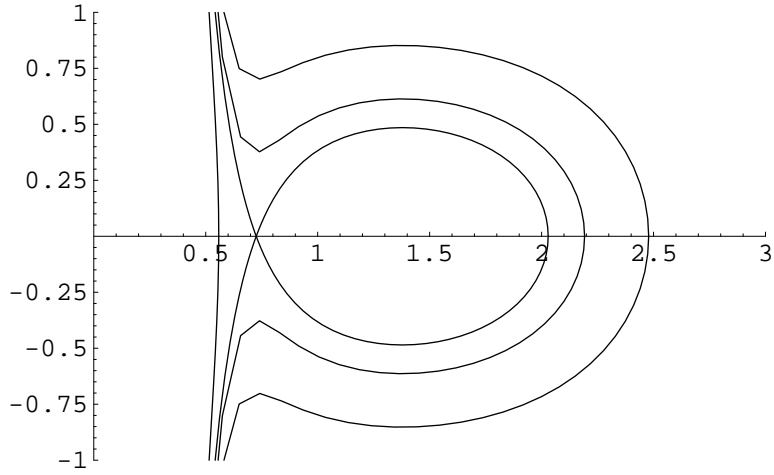


**Figura 8.** Piano delle fasi  $(\rho, y) = (\rho, \dot{\rho})$  per  $\beta > 0$  e  $\alpha > \beta^2/4$ .

Per  $\beta = 0$  e  $\alpha > 0$  si ha la situazione rappresentata in Figura 12, per  $\beta = 0$  e  $\alpha = 0$  si ha la situazione



**Figura 9.** Piano delle fasi  $(\rho, y) = (\rho, \dot{\rho})$  per  $\beta > 0$  e  $\alpha = \beta^2/4$ .



**Figura 10.** Piano delle fasi  $(\rho, y) = (\rho, \dot{\rho})$  per  $\beta > 0$  e  $0 < \alpha < \beta^2/4$ .

rappresentata in Figura 13, mentre per  $\beta = 0$  e  $\alpha < 0$  si ha la situazione rappresentata in Figura 14.

**4.6. Traiettorie periodiche nel piano  $(\rho, \dot{\rho})$ .** Si possono avere traiettorie periodiche solo per  $\beta > 0$  e  $\alpha < \beta^2/4$  e per  $\beta = 0$  e  $\alpha \leq 0$ .

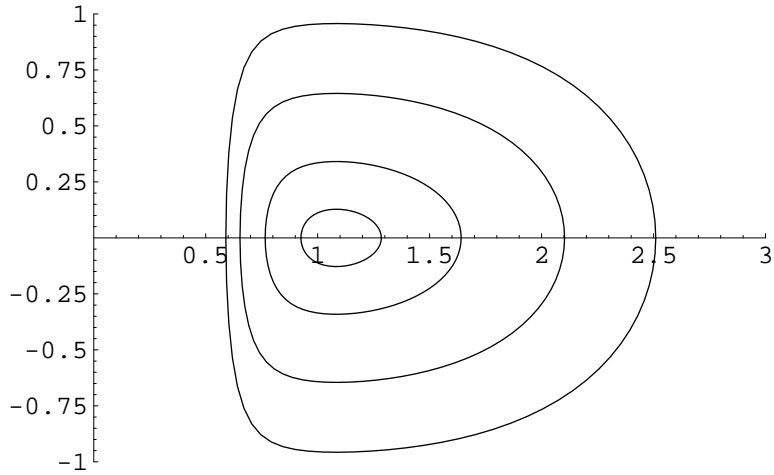
I dati iniziali  $(\bar{\rho}, \bar{y})$  si devono scegliere nei rispettivi casi come segue. Se  $\beta > 0$  e  $0 < \alpha < \beta^2/4$  si deve avere  $\bar{\rho} > \rho_1$  e  $V_{\text{eff}}(\rho_2) < H(\bar{\rho}, \bar{y}) < V_{\text{eff}}(\rho_1)$ . Se  $\beta > 0$  e  $\alpha \leq 0$  si deve avere  $H(\bar{\rho}, \bar{y}) > V_{\text{eff}}(\rho_0)$  (ovvero  $(\bar{\rho}, \bar{y}) \in \mathbb{R}_+ \times \mathbb{R} \setminus \{(\rho_0, 0)\}$ ). Se  $\beta = 0$  e  $\alpha = 0$  si deve avere  $(\bar{\rho}, \bar{y}) \neq (0, 0)$ . Se infine  $\beta = 0$  e  $\alpha > 0$  si deve avere  $\bar{\rho} \neq 0$  e  $H(\bar{\rho}, \bar{y}) > V_{\text{eff}}(\rho_0)$ , con  $\rho_0 = \pm(-\alpha)^{1/12}$ .

**4.7. Traiettorie periodiche per il moto complessivo.** Per avere moti periodici si hanno due possibilità.

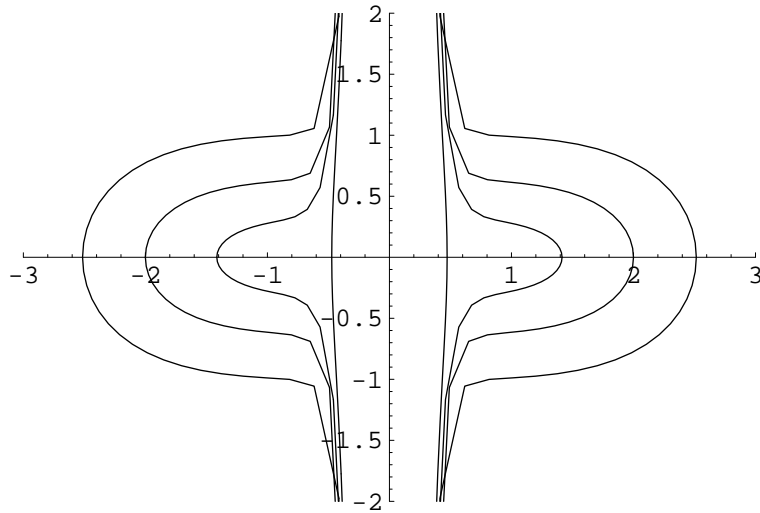
La prima è che sia  $(\rho(0), \dot{\rho}(0)) = (\rho_0, 0)$ , con  $V'_{\text{eff}}(\rho_0) = 0$ , ovvero che la variabile radiale sia ferma nel suo punto d'equilibrio: in tal caso risulta  $\dot{\theta} = L/\mu\rho_0^2$ , e quindi il punto materiale si muove lungo un'orbita circolare con velocità angolare costante (e quindi si muove di moto circolare uniforme).

La seconda è che  $(\rho(0), \dot{\rho}(0)) = (\bar{\rho}, \bar{y})$ , in modo tale che le condizioni al punto 4.6 per avere un moto periodico per la variabile  $\rho$  siano soddisfatte, e che l'incremento  $\Delta\theta$  della variabile angolare  $\theta$  in un periodo  $T_0$  della variabile radiale sia commensurabile con  $2\pi$ .

Si ha la prima situazione per  $\beta > 0$  e  $\alpha = \beta^2/4$  se  $\rho(0) = (\beta/2)^{1/16}$ ,  $\beta > 0$  e  $0 < \alpha < \beta^2/4$  se  $\rho(0) = \rho_1$



**Figura 11.** Piano delle fasi  $(\rho, y) = (\rho, \dot{\rho})$  per  $\beta > 0$  e  $\alpha \leq 0$ .



**Figura 12.** Piano delle fasi  $(\rho, y) = (\rho, \dot{\rho})$  per  $\beta = 0$  e  $\alpha > 0$ .

oppure  $\rho(0) = \rho_2$ , per  $\beta > 0$  e  $\alpha \leq 0$  per  $\rho(0) = \rho_0$ , per  $\beta = 0$  e  $\alpha = 0$  se  $\rho(0) = 0$ , e per  $\beta = 0$  e  $\alpha > 0$  se  $\rho(0) = \pm(3\alpha)^{1/12}$ .

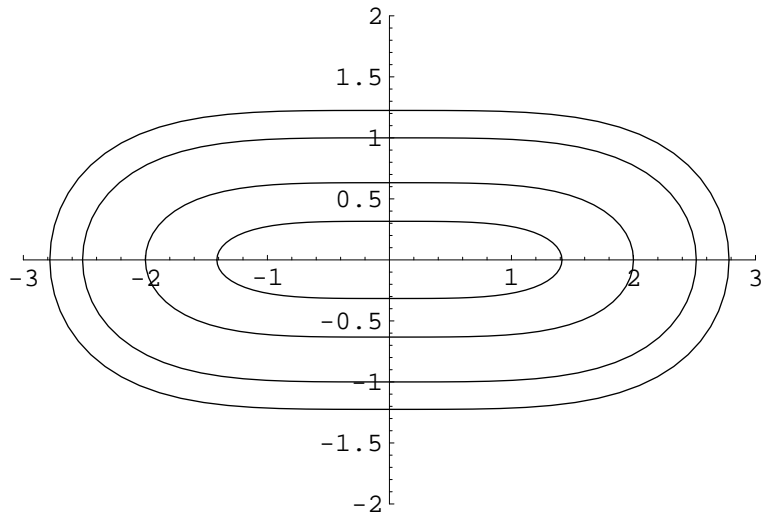
La seconda situazione si ha se il dato iniziale è scelto in accordo con quanto discusso al punto 4.6 e

$$\Delta\theta := 2 \int_{\rho_-(E)}^{\rho_+(E)} \frac{d\rho}{\rho^2 \sqrt{\frac{2\mu}{L^2} (E - V_{\text{eff}}(\rho))}} = 2\pi \frac{p}{q}$$

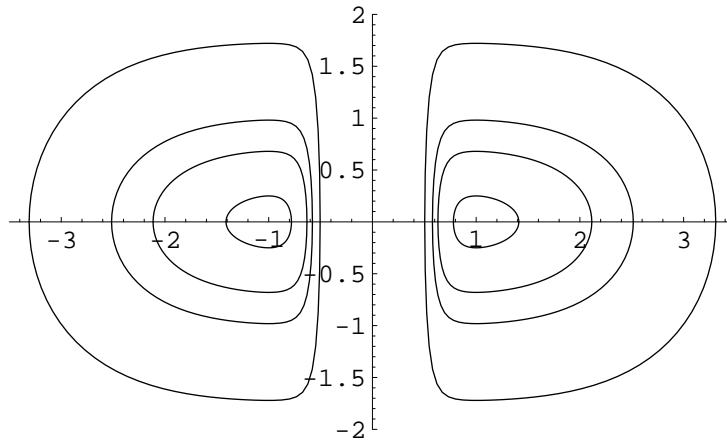
per  $p, q \in \mathbb{N}$  primi tra loro, dove  $\rho_{\pm}(E)$  sono le due radici dell'equazione  $V_{\text{eff}}(\rho) = E$ .

ESERCIZIO 5. Cfr. Cap. 8, paragrafi 33.14 ÷ 33.17.

ESERCIZIO 6. Cfr. Cap. 4, paragrafi 16.2, 16.7 e 16.8 e Cap. 5, paragrafi 20.14 ÷ 20.17.



**Figura 13.** Piano delle fasi  $(\rho, y) = (\rho, \dot{\rho})$  per  $\beta = 0$  e  $\alpha = 0$ .



**Figura 14.** Piano delle fasi  $(\rho, y) = (\rho, \dot{\rho})$  per  $\beta = 0$  e  $\alpha < 0$ .